

زمین‌لغزش بزرگ دشتگان رودبار (مسیر آزادراه رشت - قزوین) بررسی علل و چگونگی پایدارسازی آن

سید عبدالله اکرمیزاد (کارشناس ارشد)
دانشکده فنی، دانشگاه آزاد اسلامی واحد لنگرود

ابوالفضل اسلامی * (دانشیار)

گروه زئوتکنیک، دانشگاه صنعتی امیرکبیر

جواد رزاقی (استادیار)

گروه مهندسی سازه، دانشگاه گیلان

زمین‌لغزش کلان دشتگان رودبار با حجم ۱/۵ میلیون متر مکعب در مسیر آزادراه رشت - قزوین، واقع در استان گیلان، در سال ۱۳۸۴ به وقوع پیوست که موجب مسدود شدن مسیر و وقفی طولانی در روند اجرایی آن شد. جنس مصالح در بخش فوچانی توده، ترکیبی از سنگ و خاک بوده که بر روی لایه‌ی ازمخاوطه رس و لایی مستقر بر سنگ بستر قرار گرفته است. تحلیل پایداری مقطع با آنالیز برگشتی در حالت غیرشتابع، قبل از لغزش حاکی از پایداری توده با ضریب اطمینان ۰/۲ بوده است. تحلیل‌ها حاکی است که تراوش آب در بخش ریزدانه در رأس و ایجاد تراشه (گودال) در پای شیب، به صورت توانمند، علل اصلی لغزش در دشتگان رودبار است. در این نوشتار، مجموعه راهکارهای پایدارسازی قبل از راشن توده -- به منظور جلوگیری از وقفی طولانی در روند اجرایی پروژه -- و نیز بعد از راشن توده -- به منظور ادامه احداث آزادراه -- مورد بررسی قرار گرفته‌اند. ارزیابی‌های فنی، اقتصادی و اجرایی در هر دو حالت مؤید برتری گزینه‌ی دیوار حائل مهارشده به شمع‌های نگهبان در مقایسه با سایر روش‌های است.

a_ekramirad@iaul.ac.ir
afeslami@aut.ac.ir
javadr@guiilan.ac.ir

واژگان کلیدی: زمین‌لغزش بزرگ، پایداری شیب‌ها، آنالیز برگشتی، حائل‌سازی،
شمع نگهبان.

۱. مقدمه

ایران است که به دلیل فعالیت لرزه‌خیزی و شرایط متنوع زمین‌شناسی، در بسیاری نقاط مستعد لغزش است. در چارچوب منطقه‌ی بندي زمین‌ساختی (تکتونیکی) ایران، این منطقه با بخش میانی ایران مرکزی و کوه‌های البرز و حوزه‌ی دریای خزر ارتباط دارد. کهن ترین تشکیلات در این ناحیه شیسته‌های (شیل‌های) کمی دگرگون شده و شیسته‌های غیر دگرگون متعلق به سازند کهر و گرانیت است که تشکیل دهنده‌ی مجموعه‌ی پی به قدمت پرکامبرین است.^[۱]

زمین‌لغزش مورد نظر در قسمت شرقی زمین‌لغزش قدیمی دشتگان، در کیلومتر ۵۵۰ الی ۲۹۰ آزادراه رشت - قزوین واقع شده است. زمین‌لغزش دشتگان محلوطنی از سنگ و خاک بوده که مواد سنگی آن از جنس توف، آگومرای سبز و خاکستری، ایکنیمیریت و توف‌های ایگنیمیریتی قرمز و قهوه‌ی است، و قسمت بالادرست دامنه نیز شامل رسوبات سیلانی و خاک‌های سطحی است. میزان هوازدگی بالا در منطقه، تأثیر به سزایی در فراهم کردن شرایط مناسب به منظور وقوع زمین‌لغزش داشته است. این مسیر قبل از گودبرداری کاملاً پایدار بوده، اما با ایجاد گودال و

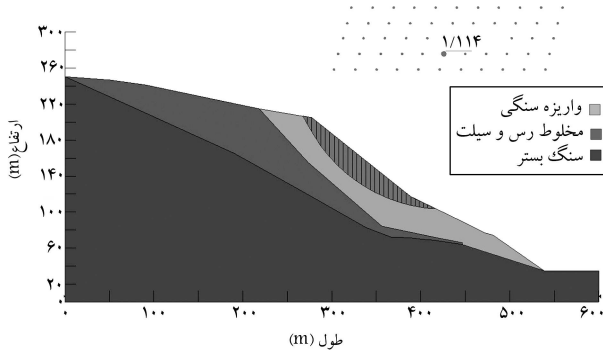
بلای طبیعی به عنوان بزرگ‌ترین دشمن طبیعی انسان، باعث کشته و مجرح شدن سالانه صدها هزار تن و بی‌خانمانی میلیون‌ها نفر در سراسر جهان می‌شود. بررسی گودال‌های موجود در مسیر آزادراه از مهم‌ترین مواردی است که در زمان احداث آزادراه پایدار بدان توجه داشت. در خصوص آزادراه‌ها با توجه به سرعت بالای حرکت خودروها، ریزش‌های جزئی در طول مسیر نیز می‌تواند بسیار خطربناک باشد. بر این اساس، و با در نظر گرفتن امنیت جانی رانندگان، مطالعه‌ی پایداری و تثبیت گودال‌ها با روش‌های متناسب با شرایط طرح ضرورت می‌باشد.

یکی از مناطق کوهستانی واقع در مسیر آزادراه رشت - قزوین، منطقه‌ی دشتگان رودبار است که بعد از احداث تراشه -- تحت تأثیر عوامل مختلف -- شاهد زمین‌لغزشی بزرگ بود. منطقه‌ی مورد مطالعه بخشی از ارتفاعات البرز غربی، واقع در شمال

* نویسنده مسئول
تاریخ: دریافت ۱۳۸۹/۳/۲۴، اصلاحیه ۱۳۸۹/۱۰/۴، پذیرش ۱۳۸۹/۹/۸.

جدول ۱. پارامترهای مقاومت برشی برای انجام آنالیزها-شرایط خاک با رطوبت طبیعی.

γ_{wst} ($\frac{KN}{m^3}$)	γ_d ($\frac{KN}{m^3}$)	W (%)	LL	PL	C (Kpa)	ϕ (درجه)	مدل رفتاری خاک	لایه
۲۲,۸	۲۰,۶	۶	-	-	۰	۴۰	موهر - کولمب	واریزه سنگی
۲۳,۴	۲۱,۴	۴	۳۴	۲۳	۲۰	۱۹	موهر - کولمب	مخاوطه رس با سیلت
۲۲,۲	۲۰,۸	-	-	-	۴۰۰۰	۲۸	موهر - کولمب	سنگ بستر



شکل ۲. سطح لغزش بحرانی به دست آمده توسط نرم افزار.



شکل ۱. محل وقوع لغزش در نزدیکی دکل برق فشارقوی.

خاک‌ها، مطابق جدول ۱، به توده‌ی مورد نظر، آنالیز پایداری شیروانی در حالت گوه لغزش دایره‌بی (شکل ۲) صورت گرفته و کمینه ضرایب اطمینان (Min FS) در برابر پایداری توده توسط روش‌های جانبو اصلاح شده (۱۹۵۶)، بیشاب اصلاح شده (۱۹۶۰)، مورگنسترن - پرایس (۱۹۶۵) در جدول ۲ ارائه شده است. با توجه به نتایج به دست آمده در این مرحله، مشاهده می‌شود که کمترین ضرایب اطمینان (FS) در برابر پایداری توده در روش جانبو معادل ۱/۱۱۴ است که از پایدار بودن توده (۱ < FS) حکایت دارد، اگرچه این ضرایب اطمینان کمتر از معیارهای ژئوتکنیکی برای شیروانی (یعنی $1/5 > FS$) است؛ البته باید توجه داشت که این ضرایب اطمینان برای آنالیز مقطع در حالت غیرشتابع است. از سوی دیگر با توجه به شرایط آب و هوایی منطقه در طول سالیان دراز، و نیز پایداری این توده و توده‌های مشابه در این سال‌ها علی‌رغم بارش‌های سنگین جوی، احتمال می‌رفت با در اختیارداشتن نتایج ژئوتکنیکی خاک‌ها در حالت اشباع، ضرایب اطمینان در برابر پایداری بزرگ‌تر از ۱ و کمتر از مقدار به دست آمده در حالت قبل باشد.

۲. آنالیز پایداری مقطع بعد از گودبرداری - خاک با رطوبت طبیعی

در این مرحله نیز با توجه به اطلاعات ژئوتکنیکی و مقطع بحرانی موجود، بعد از مدل‌سازی مقطع بحرانی و اختصاص مصالح، آنالیز پایداری مقطع در حالت خاک با رطوبت طبیعی و گوه لغزش دایره‌بی (شکل ۳) صورت گرفته و کمترین ضرایب اطمینان در برابر پایداری توده در تمامی روش‌ها کمتر از ۱ بوده است. ضرایب اطمینان به دست آمده توسط روش بیشاب از همه کمتر و معادل ۰,۸۲۵ به دست آمده که

جدول ۲. ضرایب اطمینان به دست آمده از آنالیز مقطع اولیه قبل از گودبرداری برای احداث آزادراه.

M-P (۱۹۶۵)	Bishop (۱۹۶۰)	Janbu (۱۹۵۶)	Min FS
۱,۲۷۸	۱,۱۹۴	-	لنگر خمشی
۱,۲۸۴	-	۱/۱۱۴	نیروی برشی

حالی شدن پنجه، و در واقع با حذف تکیه‌گاه بخش ریزدانه‌ی توده، از زمستان سال ۱۳۸۳ شکاف‌هایی در قسمت بالادست زمین لغزش در نزدیکی محل دکلهای برق فشارقوی ایجاد شد (شکل ۱) که به تدریج با گذشت زمان و تأثیر عواملی چون بارندگی، خاک‌برداری پاشنه و غیره در حدود شش ماه بعد، در خرداد ماه سال ۱۳۸۴ زمین‌لغزش بزرگ دشتگان رخ داد. بر اثر وقوع این زمین‌لغزش حدود ۱/۵ میلیون متر مکعب خاک و سنگ در مدت تنها چند دقیقه به سمت پایین حرکت کرد که با صدایهای مهیبی همراه بود و به صورت توده‌بی ناپایدار، ضمن مسدودکردن مسیر آزادراه در این محدوده، باعث جابه‌جایی زمین‌های کشاورزی و باغ‌های زیتون، ایجاد اخلال در امر کشاورزی و سقوط دکل برق فشارقوی در این منطقه شد. این حادثه، به عنوان چالشی بزرگ، منجر به عدم پیشرفت احداث آزادراه رشت - قزوین برای عبور از این ناحیه شد.

۲. تحلیل‌ها در خصوص علل وقوع زمین‌لغزش دشتگان

به منظور بررسی علل اصلی وقوع لغزش، با توجه به مقاطع موجود در حالات قبل و بعد از گودبرداری، و همچنین اطلاعات ژئوتکنیکی ارائه شده در جدول ۱ برخی آنالیزهای پایداری و برگشتی توسط نرم افزار Geoslope براساس روش‌های بیشاب، جابه‌جایی زمین‌های کشاورزی و باغ‌های زیتون، ایجاد اخلال در امر کشاورزی و ادامه مورد بررسی قرار خواهد گرفت.^[۲]

۲. آنالیز مقطع قبل از گودبرداری - خاک با رطوبت طبیعی

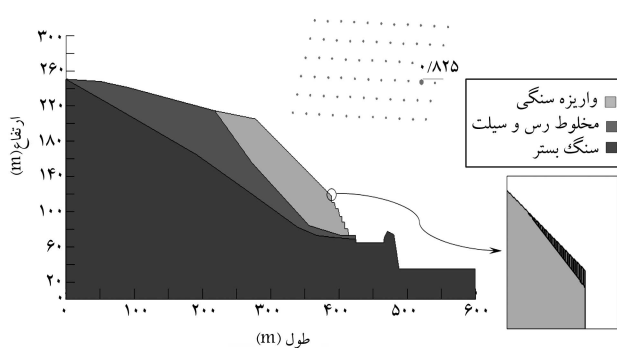
با توجه به این که در این مرحله اطلاعات ژئوتکنیکی خاک‌ها فقط در حالت رطوبت طبیعی توسط آزمایشگاه فنی و مکانیک خاک وزارت راه و تراپری ارائه شده، انجام آنالیزهای مقطع فقط در حالت رطوبت طبیعی مقدور بود. هدف از آنالیزها در این مرحله، بررسی پایداری یا عدم پایداری توده قبل از گودبرداری بوده، لذا با مدل‌سازی مقطع توسط نرم افزار Geoslope و اختصاص مشخصات ژئوتکنیکی

جدول ۳. نتایج پارامترهای ریوتکنیکی حاصل از آنالیز برگشتی - حالت اشبعا.

C (Kpa)	ϕ (درجه)	لایه
۰	۳۹	واریزه سنگی
۹	۱۷	مخالوط رس و سیلت
۴۰۰۰	۲۸	سنگ بستر

جدول ۴. ضرایب اطمینان به دست آمده از آنالیز برگشتی، بعد از گودبرداری (قبل لغزش) - حالت اشبعا.

M-P (۱۹۶۵)	Bishop (۱۹۶۰)	Janbu (۱۹۵۶)	Min FS
۱۰۲۹	۱۰۴۵	-	لنگر خمی
۱۰۲۸	-	۰/۹۹۷	نیروی برشی



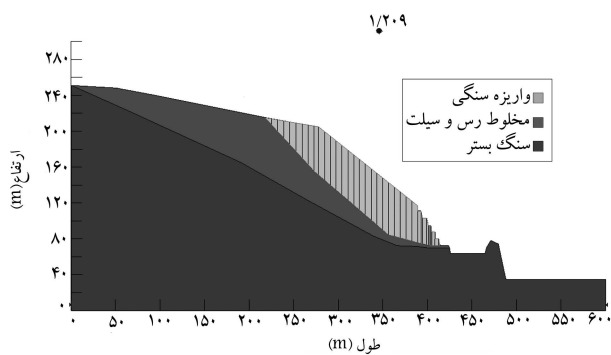
شکل ۳. ناپایداری جزئی مشاهده شده در برم فوکانی زمین لغزش دشتگان بعد از گودبرداری.

بیان گر ناپایداری بخشی از توده است، اما این ناپایداری های بیشتر مربوط به محل برم ها در ناحیه های کوچک است و علاوه بر این که ممکن است ریزش های جزئی را به همراه داشته باشد، بیان گر لزوم نصب مهارها در این مرحله از گودبرداری نیز هست. با توجه به آنچه که در واقعیت در محل توده رخ داده و قوع رانش زمین بعد از مدت طولانی از زمان گودبرداری، این ضرایب اطمینان ها در محل برم ها نمی توانند دلیل اصلی لغزش باشد. لذا بررسی سایر گوه های لغزش به طوری که بتواند بیان گفته شده سطح لغزش واقعی باشد، حاکی از وجود ضرایب اطمینان بیش از ۱ برای توده است که کاملاً طبیعی به نظر می رسد؛ باید توجه داشت که نمی توان ریزش های جزئی در محل برم ها و متعاقباً به دست آمدن ضرایب اطمینان کمتر از ۱ برای آن ها را دلیلی بر ناپایداری کلی توده قلمداد کرد.

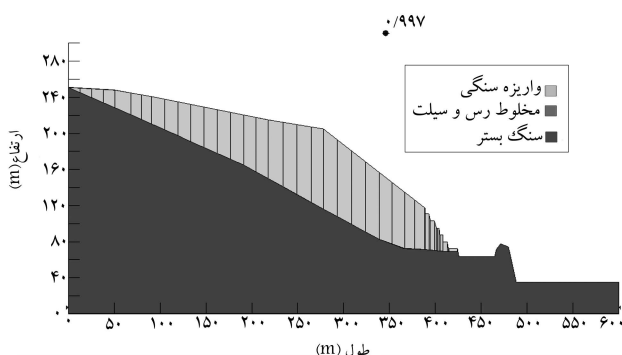
با توجه به این که هیچ گونه اطلاعات ریوتکنیکی خاک ها در حالت اشبعا در دسترس نبوده، ابتدا آنالیز برگشتی مقطع براي به دست آمدن مشخصات خاک ها صورت گرفته و در آخرین مرحله، مقطع فوق در حالت اشبعا آنالیز شده و نهایتاً نتایج حاصله مورد مقایسه قرار گرفته است.

۲. آنالیز برگشتی مقطع بعد از گودبرداری - حالت اشبعا

در این مرحله نیز همچون مرحله ای قبل با توجه به مشخصه بودن ناحیه های برشی و اطلاعات اولیه از پارامترهای خاک و با فرض ضخامت ناحیه برشی برابر ۵۰ سانتی متر، آنالیز برگشتی مقطع با اعمال سه سطح برش اجباری در محدوده ناحیه های برشی صورت گرفته (شکل ۵) تا ضرایب اطمینان در برابر پایداری توده محاسبه شود. چنانچه ضرایب به دست آمده در محدوده های ۱ نیاشد، آن قدر پارامترهای خاک را تغییر می دهیم تا توده به آستانه های ناپایداری ($FS = 1$) برسد. آنگاه پارامترهای



شکل ۴. بحرانی بودن گوه لغزش بلوكی در زیر واریزه سنگی - آنالیز برگشتی.



شکل ۵. آنالیز برگشتی مقطع با اعمال سطح لغزش اجباری در زیر مخلوط رس و لایه.

۳. آنالیز برگشتی مقطع بعد از گودبرداری - حالت غیر اشبعا

آنالیز برگشتی با توجه به فرضیات و رخدادهایی واقعی صورت گرفته است. در این مرحله با آگاهی از ناحیه های برش خورده (گودشده) و نیز داشتن مشخصات ریوتکنیکی خاک ها، آنالیز برگشتی مقطع انجام شد. باید توجه داشت که اگرچه ضخامت ناحیه های برشی ناچیز است، این ضخامت دست کم بین ۳۰ تا ۵۰ سانتی متر خواهد بود. لذا با توجه به مشخصه بودن ناحیه های برشی، بعد از مدل سازی و اختصاص پارامترهای اولیه های خاک به توده، سه سطح لغزش اجباری توسط گوه لغزش بلوكی در ناحیه های برشی به ضخامت ۳۰ تا ۵۰ سانتی متر به خاک اعمال شد و پس از انجام آنالیز مقطع، ضرایب اطمینان در برابر پایداری توده به دست آمد. چنانچه ضرایب اطمینان در برابر پایداری در محدوده های ۱ (آستانه های کسیختگی) نیاشد، آن قدر پارامترهای خاک را در ناحیه های برشی که در عمل رخ داده تغییر می باید (مطابق جدول ۳) (مشروط بر آن که تغییر پارامترهای خاک بر پایه اصول علمی، نظر اثر عوامل مختلف بر پارامترهای خاک باشد) تا ضرایب اطمینان به دست آمده توسط همه روش ها در محدوده های ۱ باشد. اما در این مرحله شاهد بودیم که با وجود تغییرات زیاد پارامترهای خاک در ناحیه های برشی، ضرایب اطمینان در برابر پایداری توده در محدوده های $1/2$ است که از پایداری توده در حالت غیر اشبعا حکایت دارد. در نهایت کمینه ضرایب اطمینان مطابق جدول ۴ ارائه شد.^[۷-۸] کمترین ضرایب اطمینان در این مرحله با استفاده از روش جانبی معادل $1/20.9$ است و مقطع بحرانی زیر واریزه سنگی است (شکل ۴).

طبیعی منطقه به شکل پلکان‌های آمفی تاتری خواهد بود که البته شکل و شیب پایدار طبیعی گودها، دلیل و توجیه علمی داشته و با مدل‌های تحلیلی سه‌بعدی مکانیک اثبات است.

به نظر بررسی پایداری مقطع نهایی راهکار فوق در این مرحله، آنالیز پایداری مقطع توسط نرم افزار Geoslope براساس روش تعادل حدی و روش قطعات برای تحلیل پایداری استاتیکی و شباهت‌آمیزی صورت گرفت. با توجه به این که نفوذ آب در خاک یکی از علل اصلی وقوع لغزش بوده، زهکشی سطحی توده به منظور جلوگیری از نفوذ آب در خاک الزامی است. آنالیزهای پایداری مقطع در حالت غیر اشباع با استفاده از پارامترهای ژئوتکنیکی مندرج در جدول ۱ بررسی شده است.

آنالیز پایداری مقطع ابتدا در حالت استاتیکی با برداشت خاک از رأس توده تا رسیدن به ضریب اطمینان لازم براساس معیارهای ژئوتکنیکی ($FS = 1,5$) انجام شد و سپس بدلیل فعالیت لرزه‌خیزی شدید در منطقه، آنالیز شباهت‌آمیزی مقطع براساس زلزله‌ی مبنای طرح — یعنی زلزله‌ی ۳۱ خرداد سال ۶۹ روobar — انجام شد. ضریب شتاب افقی زلزله (K_h) مورد استفاده در تحلیل‌های نرم افزاری براساس آین نامه‌های معتبر اروپایی و نیز آین نامه‌ی ۲۸۰۰ ایران معادل نصف بیشینه شتاب حرکت زمین و با توجه به زلزله‌ی ۷/۲ ربیعری ۳۱ خرداد سال ۶۹ روobar برابر $g/0,5$ است.^[۱۰-۱۱] بعد از انجام آنالیزهای پایداری در شرایط استاتیکی و شباهت‌آمیزی، سطح لغزش بحرانی (شکل ۶) و نتایج ضرایب اطمینان برای قبل و بعد از لغزش (جدول ۵) ارائه، و میزان حجم خاک برداری مورد نیاز به منظور رسیدن به پایداری در حالات قبل و بعد از لغزش محاسبه شد که حاکی از ضرورت برداشت حدود ۶۵ درصد خاک روی سنگ بستر در زمان قبل لغزش و حدود ۷۵ درصد خاک در زمان بعد از لغزش است که با توجه به حرکت توده به سمت جلو بعد از رانش حجم عملیات خاکی در حدود ۱۰ درصد افزایش یافت.

۲.۳. احداث دیوار حائل مهارشده به سنگ بستر توسط مهارهای کششی

به دلیل حجم زیاد خاک رانش‌بافته در واحد عرض و اعمال نیروهای رانشی بسیار زیاد در سطح لغزش بحرانی و از سوی دیگر کاهش قابل ملاحظه‌ی حجم عملیات خاکی نسبت به راهکار قبای، پایدارسازی توده توسط دیوارهای حائل صلب سازه‌یی مورد ارزیابی قرار گرفت. در این روش به منظور کاهش طول دیوار و دست‌یابی به طول قابل اجرای آن، ابتدا بخشی از خاک در محل احداث دیوار حائل برداشته شده و سپس دیوار حائل صلب ایجاد می‌شود. در مرحله‌ی بعد برای تکمیل احداث آزادراه، برداشت خاک جلوی دیوار ضرورت می‌باشد که این امر باعث کاهش نیروهای رانشی شود، احداث دیوار حائل مهارشده به سنگ بستر توسط تاندون‌های کششی و دیوار حائل مهارشده به شمع‌های ثانویه نگهبان مستقر در بالا دست زمین لغزش دستگان بوده که در ادامه مورد ارزیابی قرار خواهد گرفت.^[۹,۱۰]

نتایج حاصل از تحلیل‌های عددی مطابق شکل‌های ۸ و ۹ برای قبل و بعد لغزش نشان می‌دهد که ارتفاع میانگین دیوار برای رسیدن به پایداری، قبل از رانش بین ۱۶ تا ۱۸ متر و بعد از رانش — با افزایش حدود ۲۵ درصد — به ۲۰ تا ۲۲

خاک در هنگام لغزش، مطابق آخرین ویرایش پارامترها برای دست‌یابی به ضریب اطمینان ۱ بوده و می‌توان این پارامترها را با نتایج حاصل از آزمایش‌های مکانیک خاک مقایسه کرد.

از مقایسه‌ی این نتایج با پارامترهای آزمایشگاهی خاک در حالت غیرآشباع و برخی پارامترهای اشباع موجود در خاک‌ها می‌توان نکت که پایداری توده در حالت خشک دور از انتظار نیست و این همان چیزی است که در محل سایت رخ داده، اما بعد از بارش و نفوذ آب باران در توده‌ی خاک، به خصوص در بخش ریزدانه، رانش خاک صورت گرفته است، زیرا با مقایسه‌ی بین نتایج پارامترهای اشباع خاک به دست آمده از آنالیز برگشتی (جدول ۳) و پارامترهای غیرآشباع به دست آمده از آزمایشات مکانیک خاک مشاهده می‌شود که در حالت اشباع، پارامترهای مقاومت

برشی در توده‌ی خاک کاهش می‌یابد؛ این کاهش پارامترها در بخش ریزدانه شدیدتر است. از طرف دیگر نتایج پارامترهای آزمایشگاهی خاک‌ها در حالت اشباع تنها در مرور برخی از خاک‌ها در اختیار بوده و مقایسه‌ی آن‌ها با نتایج حاصل از آنالیز برگشتی نشان‌گر تناسب خوب آن‌هاست. نتایج ضریب اطمینان به دست آمده توسط آنالیز برگشتی در جدول ۴ ارائه شده است.

برای بررسی بیشتر توده در این مرحله، علاوه بر ناحیه‌ی برشی که در عمل رخ داده، سطح لغزش اجباری در مرز بین واریزه سنگی و مخلوط رس و لای اعمال شد و آنالیزها با توجه به پارامترهای به دست آمده از آنالیز برگشتی در مرحله‌ی فوق صورت گرفته و کمترین ضریب اطمینان در این حالت برابر $1,0^9$ و بیش از ۱ به دست آمد. این نکته بیان‌گر آن است که محل بحرانی لغزش، همان ناحیه‌ی برشی قطبی، یعنی مرز بین رس و سنگ بستر است.

۳. راهکارهای پایدارسازی زمین لغزش دشتگان روobar

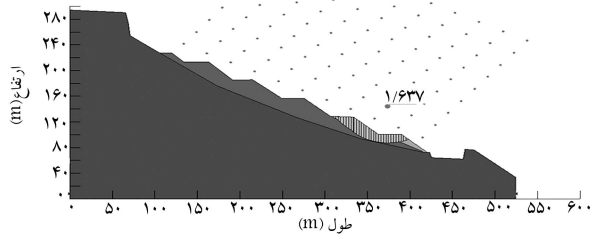
بعد از بررسی علل اصلی وقوع زمین لغزش دشتگان روobar، مجموعه راهکارهای پایدارسازی توده قبل از لغزش برای تسريع در مدت زمان بهره‌برداری آزاد راه و جلوگیری از هزینه‌های اضافی و همچنین بعد از لغزش به منظور ادامه احداث آزاد راه مورد بررسی قرار گرفت. این راهکارها شامل خاک برداری و سبک‌سازی از رأس توده، احداث دیوار حائل مهارشده به سنگ بستر توسط تاندون‌های کششی و دیوار حائل مهارشده به شمع‌های ثانویه نگهبان مستقر در بالا دست زمین لغزش دشتگان بوده که در ادامه مورد ارزیابی قرار خواهد گرفت.^[۹,۱۰]

۱.۳. خاک برداری و سبک‌سازی همگام با برم‌سازی

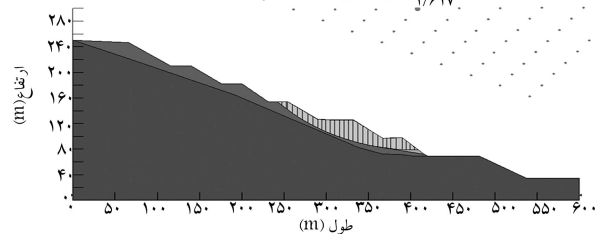
راهکار فوق با هدف حفظ مسیر مصوب و به عنوان متداول‌ترین روش در پایدارسازی شیروانی‌ها، با استفاده از تثویری کاهش سربار در رأس توده و کاهش عوامل ایجاد کننده تنش برشی در خاک صورت می‌گیرد.^[۱۱] عملیات خاک برداری از بالای توده آغاز شده، و برای کاهش حجم عملیات خاکی و صرفه‌جویی در هزینه‌ها خاک برداری با ایجاد برم‌هایی با شیب ۱:۱ (قائم: افقی) صورت گرفته و می‌باشد حجم قابل ملاحظه‌ی از خاک به مکانی دیگر — در فاصله‌ی حدود ۱۵ کیلومتری از منطقه‌ی رانش‌یافته — انتقال پیدا می‌کرد که به لحاظ اقتصادی بسیار هزینه‌بر بود. نکته‌ی قابل توجه در مرور شکل بهینه‌ی گوبد برداری و عبور از توده‌های عظیم لغزنده آن است که همانند آنچه در طبیعت رخ می‌دهد — شیب‌های ناپایدار به صورت طبیعی و به شکل گوه‌های سه‌بعدی با مقاطع هذلولی و دایروی تشکیل شده و پایدار می‌شوند — نحوه‌ی خاک برداری و برم‌سازی به منظور پایدارسازی توده نیز مطابق با ساختار

جدول ۵. ضرایب اطمینان به دست آمده از آنالیز پایداری مقطع برای خاکبرداری توده.

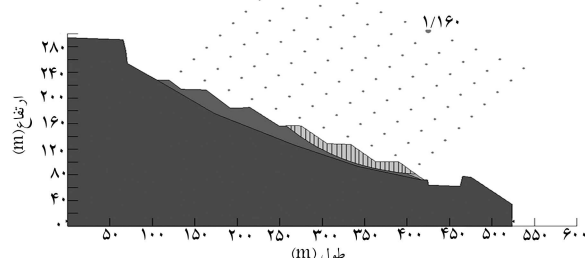
بعد از لغزش				قبل از لغزش				نوع تحلیل	
Ordinary	Bishop	Janbu	M-P	Ordinary	Bishop	Janbu	M-P	آنالیز استاتیکی	آنالیز شبه استاتیکی
۱/۶۲۴	۱/۷۰۸	-	۱/۷۰۶	۱/۶۲۳	۱/۶۷۱	-	۱/۶۷۳	لنگر خمشی	آنالیز استاتیکی
-	-	۱/۶۳۷	۱/۷۰۵	-	-	۱/۶۱۷	۱/۶۷۳	نیروی برشی	آنالیز شبه استاتیکی
۱/۱۶۷	۱/۲۱۱	-	۱/۲۱۳	۱/۱۶۲	۱/۲۰۷	-	۱/۲۱۷	لنگر خمشی	آنالیز شبه استاتیکی
-	-	۱/۱۶۰	۱/۲۱۴	-	-	۱/۱۵۴	۱/۲۲۳	نیروی برشی	آنالیز شبه استاتیکی



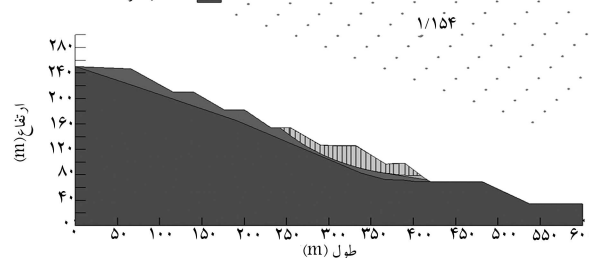
ج) آنالیز استاتیکی - بعد از لغزش ؛



الف) آنالیز استاتیکی - قبل از لغزش ؛

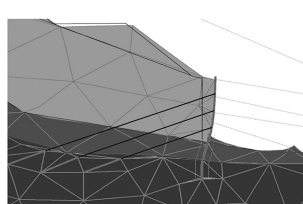


د) آنالیز شبه استاتیکی - بعد از لغزش .

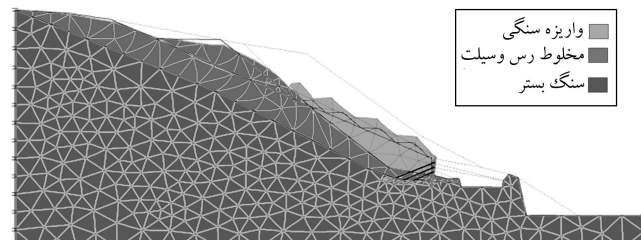


ب) آنالیز شبه استاتیکی - قبل از لغزش ؛

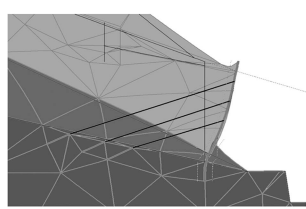
شکل ۶. سطوح لغزش بحرانی حاصل از آنالیزهای پایداری برای خاکبرداری توده.



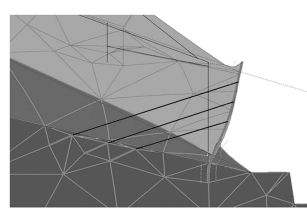
ب) آنالیز استاتیکی - قبل از لغزش



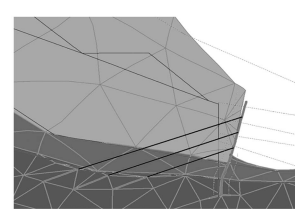
الف) مدل اصلی - دیوار حائل مهار شده به سنگ بستر توسط مهارهای کششی



ه) آنالیز شبه استاتیکی - بعد از لغزش



د) آنالیز استاتیکی - بعد از لغزش



ج) آنالیز شبه استاتیکی - قبل از لغزش

شکل ۷. مش تغییر شکل یافته بعد از آنالیزهای پایداری.

جدول ۶. نتایج خروجی تحلیل‌های عددی - دیوار حائل مهارشده به سنگ بستر توسط مهارهای کششی.

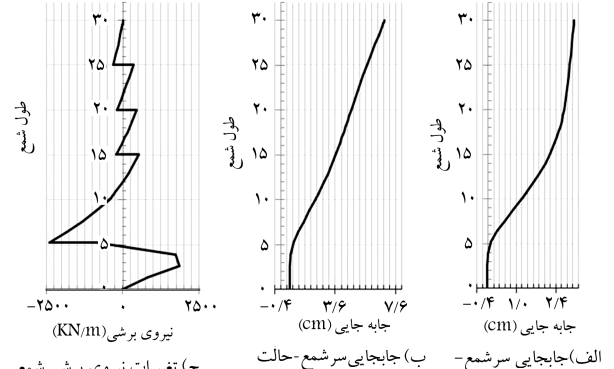
بعد از لغزش		قبل از لغزش		پارامتر مورد مطالعه
تحلیل شبه استاتیکی	تحلیل استاتیکی	تحلیل شبه استاتیکی	تحلیل استاتیکی	
۹۳۴ mm	۶۶ mm	۴۴۵ mm	۵۹ mm	بیشینه جایه‌جایی در توده‌ی خاک
۱۶۹ mm	۶۶ mm	۶۹ mm	۳۱ mm	بیشینه جایه‌جایی در انتهای فوکانی شمع
۲۰.۸ ton	۲۶۳ ton	۱۰.۵ ton	۲۲.۵ ton	نیروی محوری شمع‌ها
۲۴۷ ton	۲۱۷ ton	۲۳۹ ton	۱۷۱ ton	نیروی برشی شمع‌ها
۷۶۷ ton-m	۶۵۳ ton-m	۵۶۲ ton-m	۴۵۲ ton-m	لنگر خمی شمع‌ها
۱۴۲.۲ ton	۸۱.۹ ton	۸۲.۹ ton	۶۲.۴ ton	نیروی محوری مهارها
۱/۵۱	۱/۵۲	۱/۳۲	۱/۶۵	ضریب اطمینان در برابر پایداری توده

۳.۳. احداث دیوار حائل مهارشده به شمع‌های نگهبان مستقر در قسمت فوکانی

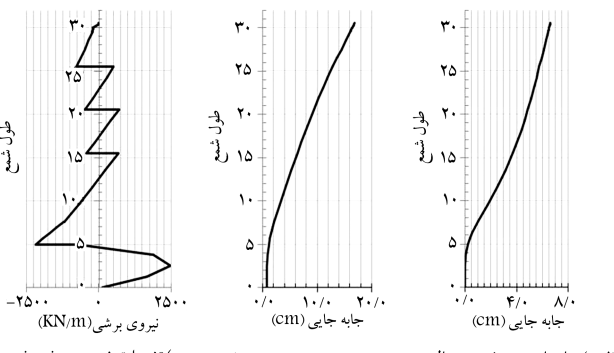
این راهکار ضمن کاهش قابل ملاحظه‌ی حجم عملیات خاکی بهمنظور مقابله با مشکل نصب مهارهای کششی با طول زیاد بررسی شد. تقاؤت اصلی آن با راهکار قبلی، نوع سیستم اختاذه شده برای جلوگیری از جایه‌جایی های غیرمجاز انتهای فوکانی دیوار است. در این روش مجدداً بخشی از خاک بالای توده بهمنظور دست‌یابی به طول اجرایی دیوار برداشته شده و سپس بعد از حفاری اقدام به احداث سازه‌ی دیوار حائل می‌شود. برای جلوگیری از جایه‌جایی های غیرمجاز انتهای فوکانی دیوار، ابتدا یک سری شمع‌های کوتاه در بالادست زمین‌لغزش دشتنگان مستقر شده و سپس دیوار حائل اصلی توسط تاندون‌های کششی به آن‌ها مهار می‌شود. برای بررسی پایداری هریک از مراحل اجرایی راهکار پیشنهادی فوق، مدل‌سازی مقطع با تقسیم‌بندی آن به فازهای مختلف اجرایی انجام شد. سپس بعد از بررسی پایداری هریک از مراحل اجرایی در حالت استاتیکی، آنالیز پایداری شبه‌استاتیکی آخرین مرحله‌ی اجرایی مقطع با اعمال ضربی ستاب افقی برابر $g = 175\text{ m/s}^2$ و خروجی نیروهای المان‌های سازه‌ی در جدول ۷ برای مراحل قبل و بعد از لغزش آمده است.^[۱۲]

مجدداً تغییر شکل‌های داخلی توده و همچنین انتهای فوکانی دیوار مطابق اشکال ۱۱ و ۱۲ در حالت شبه‌استاتیکی بیش از حالت استاتیکی بود، اما جایه‌جایی انتهای فوکانی دیوار، با مهارسازی آن به زیر ۱٪ ارتفاع دیوار کنترل شده است. از سوی دیگر با توجه به حرکت توده بعد از رانش به سمت جلو و از بین رفتن بافت سیمانی خاک، میزان جایه‌جایی انتهای فوکانی دیوار و همچنین نیروها و لنگرهای داخلی المان‌های سازه‌ی افزایش یافته است.

طول میانگین دیوار برای پایدارسازی توده در مراحل قبل و بعد از لغزش و همچنین میزان حجم عملیات خاکی ثابت نگه داشته شد، و فقط نحوه مهارسازی تغییر یافت، به طوری که طول میانگین شمع‌های تأویه برای مهارسازی دیوار حائل در زمان قبل لغزش در حدود $6/5$ متر و بعد از لغزش دشتنگان حدود ۶ تا ۸ متر بوده و ارتفاع متوسط مهارها بین دیوار حائل و شمع‌های تأویه در زمان‌های قبل و بعد از لغزش به ترتیب حدود ۷ و $8/5$ متر بوده است.



شکل ۸. نمودارهای تغییر شکل و نیروی برشی دیوار حائل (شمی)، قبل از لغزش.

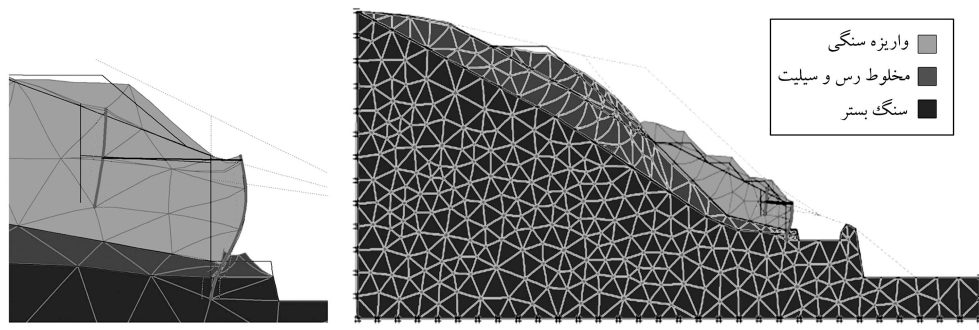


شکل ۹. نمودارهای تغییر شکل و نیروی برشی دیوار حائل (شمی)، بعد از لغزش.

متر رسیده و ضخامت دیوار نیز $1/5$ متر است. یکی از معضلات اصلی این راهکار طول زیاد مهارهای است که بین ۳۵ تا ۵۰ متر است و با توجه به ناپایداری بیشتر توده بعد از رانش، نصب مهارها برای کنترل جایه‌جایی‌ها با مشکلات جدی‌تری مواجه است. همان‌طورکه بیان شد، هدف از بررسی این راهکار کاهش قابل ملاحظه‌ی حجم عملیات خاکی و رساندن آن به حدود نصف مقدار قبلی است.^[۱۲]

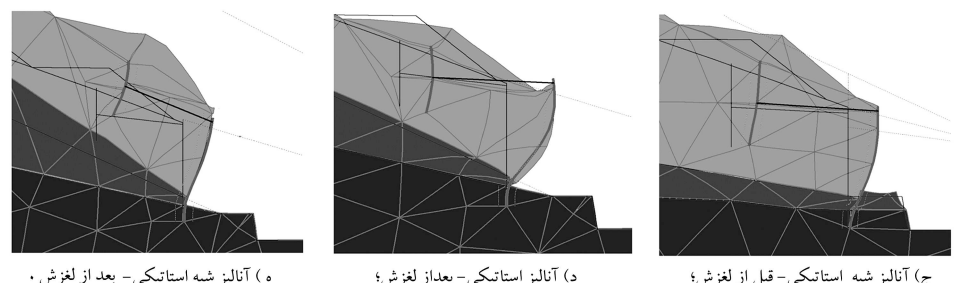
جدول ۷. نتایج خروجی تحلیل‌های عددی دیوار حائل مهارشده به شمع‌های نگهبان مستقر در قسمت فوقانی.

بعد از لغزش		قبل از لغزش		پارامتر مورد مطالعه
تحلیل شبه استاتیکی	تحلیل استاتیکی	تحلیل شبه استاتیکی	تحلیل استاتیکی	
۹۳۰ mm	۹۳ mm	۴۴۸ mm	۶۷ mm	بیشینه جابه‌جایی در توده‌ی خاک
۲۳۰ mm	۹۰ mm	۱۲۲ mm	۶۴ mm	بیشینه جابه‌جایی در انتهای فوقانی شمع
۴۴۴ ton	۲۴۱ ton	۱۵۰ ton	۱۶۹ ton	نیروی محوری شمع‌ها
۳۷۰ ton	۳۲۴ ton	۲۵۶ ton	۱۹۱ ton	نبروی برشی شمع‌ها
۱۴۱۴ ton-m	۱۰۴۴ ton-m	۶۲۰ ton-m	۴۹۳ ton-m	لنجر خمثی شمع‌ها
۱۶۳/۸ ton	۵۷/۹ ton	۵۹/۵ ton	۵۸/۴ ton	نیروی محوری مهارها
۱/۴۰	۱/۴۵	۱/۲۱	۱/۶۰	ضریب اطمینان در برابر پایداری توده



ب) آنالیز استاتیکی - قبل از لغزش؛

الف) مدل اصلی - دیوار حائل مهار شده به سنگ توسط مهارهای کششی؛

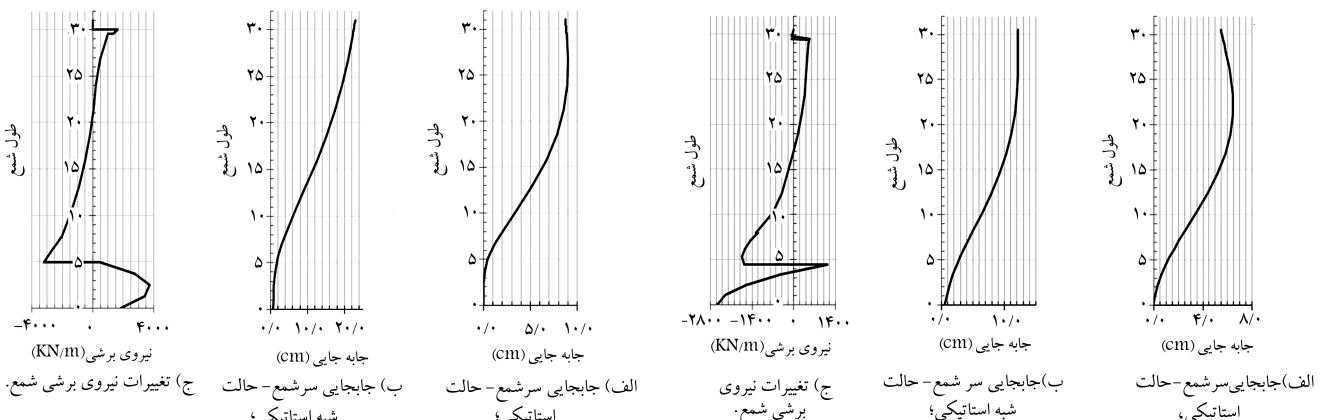


ه) آنالیز شبه استاتیکی - بعد از لغزش؛

د) آنالیز شبه استاتیکی - قبل از لغزش؛

ج) آنالیز شبه استاتیکی - قبل از لغزش؛

شکل ۱۰. مش تغییر شکل یافته بعد از آنالیزهای پایداری.



شکل ۱۱. نمودارهای تغییر شکل و نیروی برشی دیوار حائل (شموع)، قبل از لغزش.

۴. بحث و مقایسه

برای حذف این مشکل راهکار سوم یعنی مهارسازی دیوار حائل به شمع های ٹانویه‌ی مستقر در قسمت فوقانی توده پیشنهاد شد. در نهایت با ملاحظات فنی، اقتصادی و اجرایی راهکار سوم به عنوان گزینه‌ی برتر در مراحل قبل و بعد لغزش شمیخت داده شد. چنان که اشاره شد هدف از راهکارهای پایدارسازی توسط سیستم‌های حائل صلب مقابله با حجم عملیات خاکی بالا بود که در این راستا با کاهش حدود ۵۰ درصدی حجم عملیات خاکی مواجه شد.

۵. نتیجه‌گیری

زمین لغزش دشتگان رویدار، در منطقه‌ی کوهستانی آزادراه رشت - قزوین به وقوع پیوست. جنس مصالح در بخش فوقانی توده، ترکیبی از سنگ و خاک بوده که بر روی لایه‌ی از مخلوط رس و لای مستقر بر سنگ بستر قرار دارد. این مسیر قبل از گودبرداری کاملاً پایدار بوده، اما با ایجاد برش و خالی شدن پنجه و در راونج حذف تکیه‌گاه بخش ریزدانه‌ی توده، از زمستان سال ۱۳۸۳ با ایجاد شکاف‌هایی در قسمت بالادست زمین لغزش، حدود شش ماه بعد، در خردادماه سال ۱۳۸۴ زمین لغزش بزرگ دشتگان رخ داد.

نتایج حاصل از آنالیزهای پایداری، حاکی از پایداری توده در حالت غیراشباع در زمان‌های قبل و بعد از گودبرداری بود، اما نتایج حاصل از آنالیز برگشتی در حالات اشباع و غیراشباع نشان داد که تأثیرهای برش خورده، مرز بین رس و سنگ بستر بوده و علت اصلی رانش، تراوش آب در بخش ریزدانه (کاهش شدید پارامترهای مقاومت بر شیخ بخش ریزدانه) و حذف تکیه‌گاه بخش ریزدانه بر اثر گودبرداری است. احداث دیوار حائل صلب مهارشده به شمع های کوتاه‌تر مستقر در بالادست توده (دیوار حائل پشت‌بنددار)، گزینه‌ی برتر برای پایدارسازی توده است، زیرا از یک سو نسبت به گزینه‌ی اول، با کاهش حدود ۵۰ درصدی حجم عملیات خاکی و حمل آن به خارج منطقه مواجه است و از سوی دیگر با توجه به عمیق بودن سطح لغزش و فاصله‌ی زیاد بین سطح فوقانی توده و سنگ بستر از حفاری‌های عمیق به خصوص در سنگ بستر و اجرای مهارهای با طول ۳۵ تا ۵۰ متر جلوگیری شده و موجب صرفه‌جویی زیاد اقتصادی می‌شود. ارتقای دیوارهای حائل صلب در زمان قبل از رانش بین ۱۶ تا ۱۸ متر بوده و بعد از رانش با افزایش حدود ۲۵ درصد به ۲۰ تا ۲۲ متر می‌رسد، اما میزان حجم عملیات خاکی به نصف کاهش بافته است.

بهترین زمان برای پایدارسازی توده، قبل از احداث آزادراه و قبل از رانش توده بوده، زیرا از ایجاد وقفه‌ی طولانی در احداث آزادراه و بهره‌برداری آن، و نیز هزینه‌های اضافی بوجود آمده به طور چشمگیری جلوگیری می‌شد.

نتایج حاصل از تحلیل‌های عددی برای بررسی عمل اصلی وقوع لغزش نشان داد که توده‌ی دشتگان قبل از گودبرداری در حالت اشباع و غیراشباع، با توجه به پایدار بودن آن در طول سالیان دراز، پایدار است. در ادامه برای بررسی عمل اصلی وقوع لغزش، پایداری توده بعد از گودبرداری در حالت خاک با رطوبت طبیعی تحلیل شد؛ نتایج حاصله حاکی از ناپایداری جزئی در محل برم فوقانی با ضربه اطمینان ۸۹۶،^۰ اما نمی‌تواند دلیل اصلی وقوع زمین لغزش دشتگان باشد. از سوی دیگر با توجه به مشخص بودن ناحیه‌ی برش خورده، آنالیز برگشتی مقطع بعد از گودبرداری حاکی از پایدار بودن مقطع در ناحیه‌ی برشی در شرایط خاک با رطوبت طبیعی بوده است. این بدان معناست که گودبرداری و حذف تکیه‌گاه بخش ریزدانه نمی‌تواند به تنها ای علل اصلی وقوع لغزش باشد. آنالیز برگشتی مقطع در شرایط خاک اشباع نشان داد که تراوش آب در بخش ریزدانه تأثیر به سرایی در ناپایداری توده داشته است اما به دلیل پایداری مقطع قبل از گودبرداری در حالت اشباع می‌توان گفت که عامل اصلی رانش، نفوذ آب در خاک و کاهش شدید پارامترهای مقاومتی بخش ریزدانه‌ی خاک، و حذف تکیه‌گاه آن بر اثر گودبرداری بوده هرجند عواملی همچون گسل‌ها و شکستگی‌ها و سنگ‌شناصی سمت منطقه و از سوی دیگر هم راستایی مسیرهای زهکشی منطقه با جهت لغزش از دیگر عوامل تأثیرگذار در وقوع زمین لغزش دشتگان است.

با توجه به این که نفوذ آب در توده‌ی خاک یکی از عوامل اصلی وقوع لغزش است، زهکشی سطحی برای ممانعت از ورود آب در داخل توده‌ی خاک، مکمل راهکارهای پیشنهادی برای پایدارسازی توده است. بهترین زمان برای پایدارسازی توده قبل از وقوع رانش است، زیرا از ایجاد وقفه‌ی طولانی در روند اجرای احداث آزادراه رشت - قزوین جلوگیری می‌کند. برای پایدارسازی توده ابتدا گزینه‌ی خاک‌برداری و برم‌سازی بررسی شد، اما با توجه به شرایط خاص پروفیل لایه‌های توده‌ی خاک، میزان حجم عملیات خاکی در حالت قبل و بعد از لغزش به ترتیب ۶۵ و ۷۵ درصد خاک روی سنگ بستر بود. به دلیل بالابودن حجم عملیات خاکی، راهکارهای پایدارسازی توده توسعه سیستم‌های حائل صلب سازی مورد بررسی قرار گرفت. برای کنترل تغییر مکان‌های این سیستم‌ها و همچنین اقتصادی‌کردن نوع سیستم پایدارکننده، مهارسازی آن توسعه تاندون‌های کششی به سنگ بستر و به شمع های نگهبان ٹانویه مستقر در قسمت فوقانی توده مورد ارزیابی قرار گرفت، به طوری که مهارسازی توسعه تاندون‌های کششی به سنگ بستر با مشکلات اجرایی نصب مهارهای با طول زیاد به خصوص بعد از رانش مواجه شد.

منابع

۱. خسرو‌تهرانی، خسرو «چینه‌شناسی پرکامیرین و پالشوزیک»، جلد اول، مؤسسه انتشارات و چاپ دانشگاه تهران (۱۳۶۴).
۲. کمک پنا، علی «پایدارسازی شبیه‌ها»، مؤسسه بین‌المللی زلزله‌شناسی و مهندسی زلزله، تهران، چاپ اول (۱۳۷۳).
3. Brand, E.N. "Stabilization of deep cuts in unstable

slopes" Proc. Fifth International Symposium on Landslides. pp. 867-872 (1988).

4. Cornforth, D.H. "Landslides in practice", John Wiley & Sons, Inc (2005).
5. Farooq, K.; Oreense, R.P. and Towhata, I. "Evaluation of shear strength parameters for rain-induced slope instabilities", 16th International Conference on Soil Me-

- chanics and Geotechnical Engineering (16ICSMGE), pp. 2511-2514 (2005).
6. Schuster, R.L. and Krizek, R.J “Landslides, analysis and control”, Transportation Research Board, National of Sciences, Washington, Special Report 176 (1978).
7. Zaruba, Q. and Mencl, V. “Landslide and their control”, Printed in Czechoslovakia, 2 th, 3 (1982).
۸. اسلامی، ابوالفضل «مهندسی بی، طراحی و اجرا»، مرکز تحقیقات ساختمان و مسکن، تهران، چاپ اول (۱۳۸۵).
۹. کمک پناه، علی؛ منتظر قائم، سعید و چندی، امیر جعفر «روش‌های تحلیلی در ارزیابی پایداری شبکه‌های طبیعی»، جلد سوم پنهانه‌بندی زمین لغزه در ایران، مؤسسه بین‌المللی زلزله‌شناسی و مهندسی زلزله، تهران، چاپ اول (۱۳۷۱).
۱۰. «آین نامه طراحی ساختمان‌ها در برابر زلزله - استاندارد ۲۸۰۰»، مرکز تحقیقات ساختمان و مسکن، تهران، ویرایش دوم، چاپ چهاردهم (۱۳۸۲).
11. Ingles, J.; Darrozes, J. and Soula, J. “Effects of the vertical component of ground shaking on earthquake-induced landslide displacements using generalized Newmark analysis”, *Engineering Geology*, 86, pp.134-147 (2006).
12. Ketan, H.; Trivedi, P.E. and Anthony Mazzo, P.E. “Seismic pile walls-design, construction and case history”, 31st Annual Conference on Deep Foundations, Washington, DC (2006).
13. Nimbalkar, S. and Choudhury, D. “Sliding stability and seismic design of retaining wall by pseudo-dynamic method for passive case”, *Soil Dynamics and Earthquake Engineering*, 27, pp. 497-505 (2007).